

---

---

# *Austraciones*

---

---





Fig. 3.6 (a). Campo visual por confrontación entre el médico y el paciente.



Fig. 3.6 (b). Perímetro computadorizado.

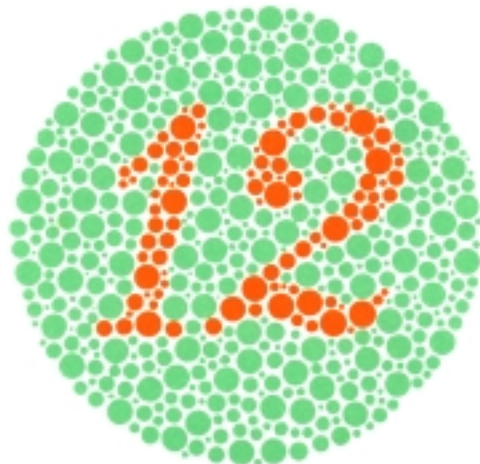


Fig. 3.7. Cartilla pseudoisocromática de Ishihara.

Fig. 3.8. Rayos de luz concentrados a través de la lupa sobre la zona que interesa observar.



Fig. 3.9. Lupa binocular frontal utilizada por el médico.



Fig. 3.10. Técnica para palpar el saco lagrimal con el dedo índice.





Fig. 3.11 (a) Inicio de la técnica para la eversión del párpado superior (tirando del párpado).

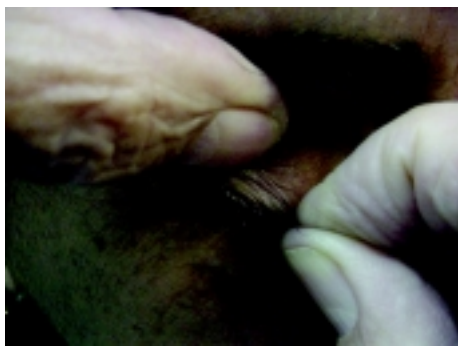


Fig. 3.11 (b). Empleo de la uña del pulgar.

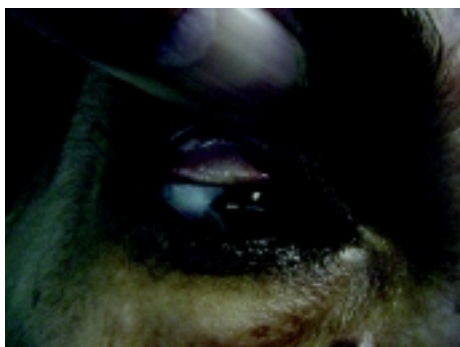


Fig. 3.11 (c). Movimiento de eversión.



Fig. 3.12. Uso de la iluminación oblicua o lateral con linterna.



Fig. 3.13. Iluminación con linterna y lupa binocular frontal.



Fig. 3.14. Iluminación con linterna y lupa monocular.



Fig. 3.16. Esquema comparativo de: (a) hipopión; (b) hifema.



Fig. 3.17. Técnica para la palpación de la tensión ocular.



Fig. 3.22. Oftalmoscopia a distancia.



Fig. 3. 23 (a). Examen de fondo de ojo por oftalmoscopia indirecta o de imagen invertida.

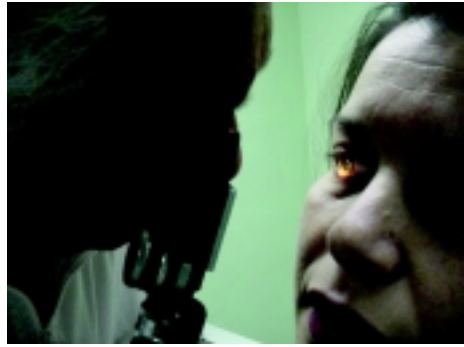


Fig. 3. 23 (b). Examen de fondo de ojo por oftalmoscopia de imagen directa.

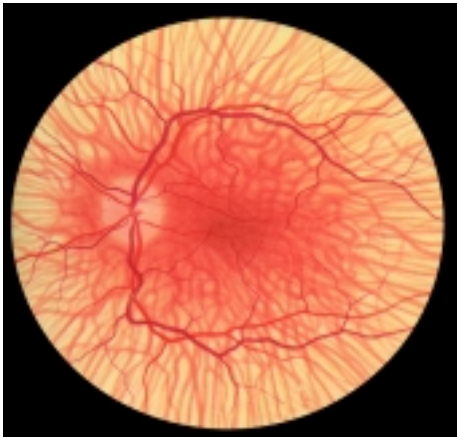


Fig. 3.25. Fondo de ojo de un albino.



Fig. 3.26. Fibras de mielina.

Fig. 3.27. Biomicroscopio ocular o lámpara de hendidura.



Fig. 3.28. Toma de la tensión ocular con tonómetro de Schiotz.



Fig. 3.29 (a). Toma de la tensión ocular con tonómetro de aplanación portátil de mano.



Fig. 3. 29 (b). Tonómetro de aplanación que se coloca a la lámpara de hendidura para tomar la tensión ocular.

Fig. 3. 30. Gonioscopio de tres espejos.

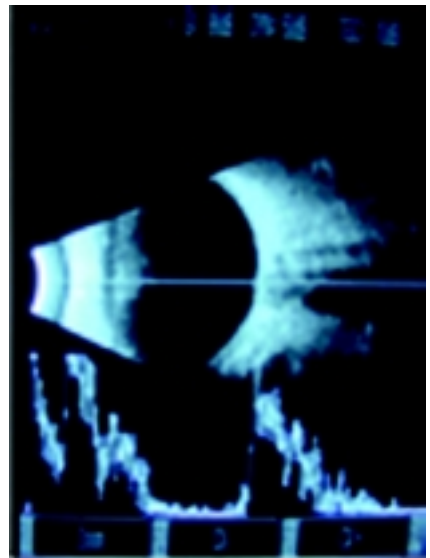


Fig. 3. 31 (a) Ecógrafo. Modos A y B Scan.



a

Fig. 3. 31 (b) Gráficos: modo A o biometría (abajo); modo B Scan (al centro).



b



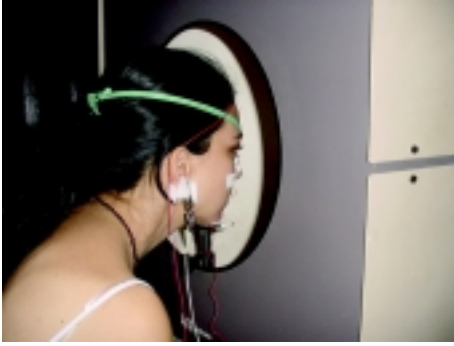


Fig. 3.32 (a). Examen del paciente mediante el equipo de electroretinografía.



Fig. 3.32 (b). Gráfica en pantalla como respuesta de la retina al estímulo visual.



Fig. 3.34. Fotocoagulador láser.



Fig. 3.35. Paciente sometido a la cirugía refractiva por láser Excimer.